

УДК 536.3+536.42

К анализу процессов нагрева и плавления слоя полупрозрачного материала

Н.А. Рубцов

Институт теплофизики им. С.С. Кутателадзе СО РАН, Новосибирск

E-mail: sleptsov@itp.nsc.ru

Анализируется модельное представление процессов нагрева и плавления применительно к постановке однофазной задачи Стефана в плоском слое полупрозрачного материала, односторонне нагреваемого и оплаваемого радиационно-конвективным способом.

Ключевые слова: нагрев, плавление, задача Стефана, фазовый переход, поглощение, излучение, отражение, радиационно-кондуктивный теплообмен.

Введение

Рассматривается открытая система, представленная плоским слоем однородной серой поглощающей и излучающей среды с частично поглощающими, излучающими и пропускающими границами. Левая граница слоя охлаждается за счет конвективной и радиационной теплоотдачи в окружающую среду с температурой, равной начальному значению температуры пластины (T_{C1}). Правая граница слоя нагревается за счет конвективного теплоподвода со стороны высокотемпературной среды, с температурой $T_{C2} > T_{C1}$, и внешнего диффузно излучающего источника теплового излучения с температурой, превышающей температуру окружающей его среды ($T_u > T_{C2}$) (см. рис.). Оптические свойства материала пластины в объеме и на границах в процессе нагрева пластины остаются неизменными. Теплофизические свойства материала пластины полагаются независимыми от температуры. В этих условиях конвективный нагрев пластины, осуществляемый через правую границу посредством теплопроводности, приводит к монотонному характеру температурных распределений по толщине пластины.

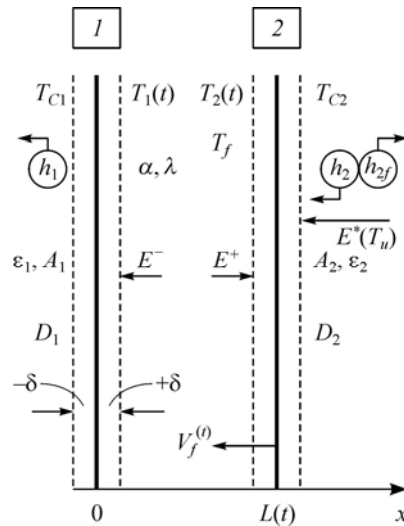


Рис. Геометрическая схема задачи (слой полупрозрачного материала).

Учет теплового излучения, проникающего в пластину через правую границу, а также излучения самой полупрозрачной границы ведет к возможности перегрева слоя, по сравнению с нагревом чистой теплопроводностью, и к формированию немонотонного температурного распределения в слое. Последнее связано с формированием в объеме слоя локальных источников (стоков) тепловыделения, имеющих смысл плотностей потоков объемного результирующего излучения.

При достижении нагреваемой границей пластины условий равновесного фазового перехода ее температура T_f фиксируется. Однако при этом объем среды, примыкающей к правой границе, может оказаться перегретым по отношению к постоянной температуре T_f . Тем не менее, предполагается, что фазовый переход в объеме перегретого материала не происходит, в силу его однородного состава, и осуществляется на границе, где указанная однородность нарушается [1]. Предполагается, что возникновение фазового перехода сопряжено с частичным замутнением поверхностного слоя за счет возникающих при фазовых переходах дефектов структуры материала и с соответствующим изменением оптических свойств границы 2. При этом вместо A_2, ε_2 , которые зачастую могут принимать нулевые значения (пластина с прозрачными границами), вводятся A_{2f}, ε_{2f} имеющие конечные значения.

Формирование в объеме пластины тепловых процессов, носящих подобный динамический характер, сопряжено с необходимостью обоснования граничных условий. В этой связи, помимо законов сохранения энергии, привлекаются простейшие термодинамические соотношения.

1. Термодинамическое обоснование

В рамках однофазной задачи Стефана обычно рассматриваются лишь процессы переноса тепловой энергии. Применительно к полупрозрачной неподвижной среде обобщенное уравнение энергии записывается в виде:

$$\rho \frac{d(u + u_p)}{dt} = \operatorname{div}(\lambda \operatorname{grad} T) - \operatorname{div} \vec{E}_{4\pi} + \Phi_f. \quad (1)$$

Здесь ρ — плотность вещества, t — время, u, u_p — плотность внутренней энергии вещества и излучения, $\vec{E}_{4\pi}$ — сферический вектор излучения, $\lambda \operatorname{grad} T = -\vec{q}$, где λ — коэффициент теплопроводности, T — температура, \vec{q} — вектор плотности потока энергии теплопроводностью, Φ_f — локальный сток (источник) тепловой энергии, вызванный фазовым превращением в среде.

Рассматривая тепловое излучение в квазистационарном приближении и полагая

$$\operatorname{div} \vec{E}_{4\pi} = -\Phi_p, \quad (2)$$

где Φ_p — интегральное по спектру значение объемной плотности потока результирующего излучения, запишем (1) в виде:

$$\rho \frac{du}{dt} = \Phi - \operatorname{div} \vec{q}, \quad (3)$$

где

$$\Phi = \Phi_p + \Phi_f \quad (4)$$

— обобщенный сток (источник) тепловой энергии.

С учетом второго закона термодинамики запишем уравнение (3) в виде:

$$\rho T \frac{dS}{dt} = \Phi - \operatorname{div} \bar{q}, \quad (5)$$

где S — удельная энтропия.

Разделив члены уравнения (5) на температуру T и интегрируя их по объему системы V , с учетом соотношения

$$\frac{1}{T} \operatorname{div} \bar{q} = \operatorname{div} \left(\frac{\bar{q}}{T} \right) + \frac{\bar{q} \cdot \operatorname{grad} T}{T^2},$$

получаем

$$\frac{d}{dt} \int_V \rho S dv = \int_V \left[\frac{\Phi}{T} - \frac{\bar{q} \cdot \operatorname{grad} T}{T^2} \right] dv - \int_V \operatorname{div} \left(\frac{\bar{q}}{T} \right) dv.$$

С помощью теоремы Гаусса–Остроградского, учитывая, что $T > 0$ есть скалярная величина, полученное выражение записывается в виде [2]:

$$\frac{d}{dt} \int_V \rho S dv = \int_V \left[\frac{\Phi}{T} - \frac{\bar{q} \cdot \operatorname{grad} T}{T^2} \right] dv - \oint_F \frac{\bar{q} \cdot \bar{n}}{T} df, \quad (6)$$

где F — поверхность системы.

Уравнение (6) отражает справедливость утверждения: скорость изменения энтропии системы определяется скоростью ее изменения как внутри системы, так и за счет ее теплового взаимодействия через поверхность F с окружающей средой. Из свойств открытых систем вытекает справедливость предположений:

$$\frac{d}{dt} \int_V \rho S dv \geq - \oint_F \frac{\bar{q} \cdot \bar{n}}{T} df, \quad (7)$$

если тепловая энергия поступает в объем V через поверхность F ;

$$\frac{d}{dt} \int_V \rho S dv \leq - \oint_F \frac{\bar{q} \cdot \bar{n}}{T} df, \quad (8)$$

если тепловая энергия выходит из системы с объемом V через поверхность F .

Предположение (7) дает основание налагать на значения Φ , \bar{q} и T следующее ограничение [2]:

$$[\Phi - \bar{q} \cdot \operatorname{grad} T / T] \geq 0. \quad (9)$$

Из предположения (8) вытекает ограничение:

$$[\Phi - \bar{q} \cdot \operatorname{grad} T / T] \leq 0. \quad (10)$$

Неравенство (9) выполняется при условии:

$$\text{если } \Phi \geq 0, \text{ то } \bar{q} \cdot \operatorname{grad} T \leq 0, \quad (11)$$

а неравенство (10) — при условии:

$$\text{если } \Phi \leq 0, \text{ то } \bar{q} \cdot \operatorname{grad} T \geq 0. \quad (12)$$

Представленные соотношения (9), (10) могут быть использованы для анализа локальных тепловых состояний в объеме открытой системы, размерность — Вт/м³.

При перемещении указанных характеристик из объема к поверхности их элементарные значения из объемных преобразуются в поверхностные с размерностью Вт/м². Применительно к определению (2) имеем:

$$\frac{dE_{\text{рез}}}{dx} = -\Phi_p. \quad (13)$$

С учетом определения $E_{\text{рез}}(x) \equiv \vec{E}_{4\pi}(x)\vec{n} = \lim_{\delta \rightarrow 0} [E_{\text{пад}}(x-\delta) - E_{\text{пад}}(x+\delta)]$ получаем соотношение $\text{div} \vec{E}_{4\pi}(x) \rightarrow \left[\frac{dE_{\text{пад}}(x-\delta)}{dx} - \frac{dE_{\text{пад}}(x+\delta)}{dx} \right]$, в котором $E_{\text{пад}}(x \pm \delta)$ — значения плотностей потоков полусферического поверхностного излучения, падающего на плоскость x с обеих сторон, $(x \pm \delta)$: $\lim_{\delta \rightarrow 0} E_{\text{пад}}(x-\delta) = 2\pi \int_{\mu=0}^1 I(x, \mu) \mu d\mu$,

$$\lim_{\delta \rightarrow 0} E_{\text{пад}}(x+\delta) = -2\pi \int_{\mu=-1}^0 I(x, \mu) \mu d\mu, \quad \mu = \cos \theta, \quad \text{где } I(x, \mu) \text{ — интенсивность излу-}$$

чения в точке x по направлению, образующему с вертикалью к плоскости x угол θ .

Используя второе определение плотностей потоков результирующего излучения в виде разности между поглощенным и собственным излучением, отмечаем, что поверхностные и объемные значения равновесного излучения физической границы x в выражениях для $\text{div} \vec{E}_{4\pi}(x)$ и $\Phi_p(x)$ взаимно сокращаются. Это позволяет, следуя [3], записать соотношение для поглощающей среды:

$$\frac{dE_{\text{пад}}(x-\delta)}{dx} - \frac{dE_{\text{пад}}(x+\delta)}{dx} = \alpha [\Phi_{\text{пад}}(x-\delta) + \Phi_{\text{пад}}(x+\delta)], \quad (14)$$

Здесь $\lim_{\delta \rightarrow 0} \Phi_{\text{пад}}(x-\delta) = 2\pi \int_1^0 I(x, \mu) \mu d\mu$, $\lim_{\delta \rightarrow 0} \Phi_{\text{пад}}(x+\delta) = 2\pi \int_0^{-1} I(x, \mu) \mu d\mu$ — значения плотностей сферического (объемного) излучений, падающих на плоскость x с обеих сторон, $(x \pm \delta)$, $\delta \rightarrow 0$.

Производные $\frac{dE_{\text{пад}}(x \pm \delta)}{dx}$ отражают изменение плотности падающего поверхностного излучения по мере продвижения в глубину пластины. Полагая $\frac{dE_{\text{пад}}}{dx} \equiv -lE_{\text{пад}}$, легко показать справедливость соотношения

$$l[E_{\text{пад}}(x-\delta) - E_{\text{пад}}(x+\delta)] = k[\Phi_{\text{пад}}(x-\delta) + \Phi_{\text{пад}}(x+\delta)], \quad (15)$$

связывающего поверхностные и объемные характеристики излучения с помощью коэффициента l , отражающего свойства среды ослаблять (поглощать и изотропно рассеивать, $k = \alpha + \beta$) излучение, проникающее через прозрачную границу в глубину слоя [3].

Вводя характеристики излучений:

$$R = \frac{E_{\text{пад}}(x+\delta)}{E_{\text{пад}}(x-\delta)}, \quad g_1 = \frac{\Phi_{\text{пад}}(x-\delta)}{E_{\text{пад}}(x-\delta)}, \quad g_2 = \frac{\Phi_{\text{пад}}(x+\delta)}{E_{\text{пад}}(x-\delta)}, \quad (16)$$

не зависящие от глубины x , в уравнение (15), получаем соотношение $l = \frac{g_1 + g_2 R}{1 - R} k$, в котором R имеет смысл коэффициента отражения границы слоя, а $1/g_1$ и $1/g_2$ — взвешенных средних косинусов углов ($\mu = \cos \theta$) между направлениями излучения, падающего слева ($x - \delta$) и справа ($x + \delta$) на границу x и нормалью к ней. В случае изотропного характера излучения $g_1 = g_2 = g = 2$ [3].

Известно, что фазовые превращения сопровождаются ростом флуктуаций плотности и увеличением коэффициентов объемного поглощения α и рассеяния β , причем $\beta \gg \alpha$. Это дает дополнительное основание приближенно считать границы полупрозрачного слоя поглощающими (A), пропускающими (D) и отражающими (R). Принимая во внимание соотношения $-dE_{\text{рез}} = \Phi_p dx$, $dq_f = \Phi_f dx$, где $dE_{\text{рез}}$ и dq_f — элементарные значения плотностей потоков результирующего излучения и тепловой энергии фазового превращения, пересекающих плоскость x , отмечаем, что между рассматриваемыми тепловыми характеристиками существует однозначное соответствие, позволяющее утверждать, что $\Phi_p \leftrightarrow E_{\text{рез}}$ и $\Phi_f \leftrightarrow q_f$.

С учетом приведенных соображений соотношения (11), (12) далее используются при определении граничных условий.

2. Обоснование граничных условий

Применительно к однофазной задаче Стефана рассматривается тепловое состояние открытой термодинамической системы в виде плоского слоя полупрозрачной конденсированной среды с проницаемыми для тепловых потоков (теплопроводности, конвекции и излучения) границами 1 и 2 (см. рис.). Нагрев пластины осуществляется через тепловоспринимающую границу 2, охлаждение — через теплоотдающую границу 1.

Уравнение сохранения тепловой энергии

$$c_s \rho_s \frac{\partial T}{\partial t} = \frac{\partial}{\partial x} \left(\lambda_s \frac{\partial T}{\partial x} - E_{\text{рез}} \right), \quad 0 < x < L \quad (17)$$

включает в себя молекулярную теплопроводность и тепловое излучение в слое пластины. Здесь ρ_s — плотность, c_s , λ_s — коэффициенты теплоемкости и теплопроводности конденсированной среды пластины, $E_{\text{рез}}$ — полусферическая плотность потока результирующего излучения в объеме пластины.

Учитывая сопряженный характер переноса тепловой энергии на границах плоского слоя, результаты термодинамического обоснования, представленного в виде неравенств (11), (12), преобразуются применительно к анализу процессов на границах следующим образом. На теплоотдающей границе 1: в области внешней стороны границы $\Phi_p(x - \delta) \rightarrow E_{\text{рез}, 1}(x - \delta) > 0$, $q_{T1}(x - \delta) \equiv 0$, $q_{K1} \equiv h_1(T - T_{C1})|_{x-\delta} > 0$, $x = 0$; в области внутренней стороны границы $\Phi_p(x + \delta) \rightarrow E_{\text{рез}, 1}(x + \delta) < 0$, $q_{T1}(x + \delta) < 0$, $x = 0$, следовательно, на основании (12) получаем $\text{grad } T(x + \delta) \equiv \frac{\partial T}{\partial x} \Big|_{x+\delta} < 0$, $x = 0$. На тепловоспринимающей границе 2: в области внутренней стороны границы $\Phi_p(x - \delta) \rightarrow E_{\text{рез}, 2}(x - \delta) > 0$, $q_{T2}(x - \delta) > 0$, $x = L$, следовательно, на основании (11) получаем $\text{grad } T(x - \delta) \equiv \frac{\partial T}{\partial x} \Big|_{x-\delta} < 0$, $x = L$;

в области внешней стороны границы $\Phi_p(x + \delta) \rightarrow E_{\text{рез}, 2}(x + \delta) < 0$, $q_{T2}(x + \delta) \equiv 0$, $q_{K2}(x + \delta) \equiv h_2(T - T_{C2})|_{x+\delta} < 0$, $x = L$. Здесь q_{Ti} , q_{Ki} , $E_{\text{рез}, i}$ — плотности потоков с теплопроводностью, конвекцией и излучением в сечениях, примыкающих к границам $i = 1, 2$; δ — бесконечно малое изменение значения координаты x (см. рис.).

Суммируя вышеизложенное, составим балансовые уравнения для тепловых потоков на границах 1 и 2 в виде

$$E_{\text{рез}, 1}(x - \delta) + h_1(T - T_{C1})|_{x-\delta} - E_{\text{рез}, 1}(x + \delta) - \lambda_S \frac{\partial T}{\partial x}|_{x+\delta} = 0, \quad x = 0, \quad (18)$$

$$E_{\text{рез}, 2}(x - \delta) - \lambda_S \frac{\partial T}{\partial x}|_{x-\delta} - E_{\text{рез}, 2}(x + \delta) - h_2(T - T_{C2})|_{x+\delta} = 0, \quad x = L. \quad (19)$$

Запишем (18) и (19) в виде соотношений

$$-\lambda_S \frac{\partial T}{\partial x}|_{x+\delta} + h_1(T - T_{C1})|_{x-\delta} + |E_{\text{рез}, 1}| = 0, \quad x = 0, \quad (20)$$

$$\lambda_S \frac{\partial T}{\partial x}|_{x-\delta} + h_2(T - T_{C2})|_{x+\delta} - |E_{\text{рез}, 2}| = 0, \quad x = L, \quad (21)$$

приведенных ранее в работе [4] и являющихся граничными условиями уравнения энергии (17), описывающими, с учетом начального условия

$$T(x, t) = T_1 = \text{const}, \quad t = 0, \quad (22)$$

краевую задачу для решения первого этапа однофазной задачи Стефана (нагрев пластины).

В уравнениях (20), (21) используются обозначения

$$|E_{\text{рез}, i}| = E_{\text{рез}, i}(x - \delta) - E_{\text{рез}, i}(x + \delta), \quad i = 1, 2, \quad (23)$$

удовлетворяющее условию (15) для $x \in [0, L]$, а также — коэффициентов конвективного теплообмена h_i на границах $i = 1, 2$ при $T_{C2} > T_{C1}$.

Для общности проводимого ниже анализа предполагается, что границы пластины частично поглощают (A_i), отражают (R_i), пропускают (D_i) тепловое излучение и удовлетворяют условию $A_i + R_i + D_i = 1$, $i = 1, 2$, а также — закону Кирхгофа, $A_i = \varepsilon_i$, где A_i , R_i , D_i , ε_i — полусферические значения поглощательной, отражательной, пропускательной и излучательной способностей границ $i = 1, 2$. В связи с этим значения перепадов плотностей потоков результирующего излучения $|E_{\text{рез}, i}|$ определяются следующим образом [4]:

$$|E_{\text{рез}, 1}| = A_1[E^-(x + \delta) + E_b(T_{C1})] - \varepsilon_1(1 + n^2)E_b(T_1), \quad x = 0, \quad (24)$$

$$|E_{\text{рез}, 2}| = A_2[E^+(x - \delta) + E^*] - \varepsilon_2(1 + n^2)E_b(T_2), \quad x = L. \quad (25)$$

Здесь $E_b(T_i)$ — плотности потоков равновесного излучения при температурах границ с $i = 1, 2$ и среды $C1$; n — показатель преломления излучения материалом пластины; E^* — плотность потока полусферического излучения, падающего на внешнюю поверхность границы 2 ($x = L$); $E^-(x + \delta)$, $E^+(x - \delta)$ — плотности потоков излучения среды пластины, падающих на внутренние поверхности границ 1 ($x = 0$)

и 2 ($x = L$) соответственно, которые определяются из решения уравнения переноса энергии излучения [4].

В процессе нагрева пластины и достижения ее правой границей температуры фазового превращения T_f осуществляется переход к решению второго этапа задачи, связанного с рассмотрением уравнения энергии [4]:

$$c_s \rho_s \frac{\partial T}{\partial t} = c_s \rho_s \frac{\partial T}{\partial x} \frac{\partial x}{\partial t} + \frac{\partial}{\partial x} \left(\lambda_s \frac{\partial T}{\partial x} - E_{\text{рез}} \right), \quad (26)$$

учитывающего зависимость координаты от времени. Граничное условие уравнения (26) на теплоотдающей поверхности 1 остается неизменным и записывается уравнением (20). Возникновение стока тепловой энергии на границе 2, вызванное фазовым переходом первого рода, и объемное поглощение излучения, проникающего в пластину через границу 2, приводят к перегреву среды по отношению к фиксированной температуре этой границы (T_f).

Соответствующее граничное условие составляется из следующих соображений. Прежде всего предполагается, что фазовый переход первого рода характеризуется расслоением на фазы. Это означает, что фронт фазового перехода, $x(t) = L(t)$, условно состоит из внутренней подобласти $[x(t) - \delta]$, принадлежащей конденсированной (твердой) среде с фазовым преобразованием, и внешней подобласти $[x(t) + \delta]$, принадлежащей чистой жидкой фазе. В предположении перегрева среды пластины, примыкающей к границе 2, начало фазового перехода связано с формированием стока тепловой энергии на границе $x = L(t)$ за счет излучения, проникающего через сечения $(x - \delta)$ и $(x + \delta)$, и теплопроводности, проникающей через сечение $(x - \delta)$ и покидающей фронт фазового перехода через сечение $(x + \delta)$. Следовательно, согласно (4), (15) и (16), имеем $\Phi \equiv \Phi_p + \Phi_f$ и $\Phi(x - \delta) \rightarrow \rightarrow (E_{\text{рез}, 2}(x - \delta) + q_f) < 0$, а потому при $q_{T2}(x - \delta) < 0$, согласно (12), получаем $\text{grad} T|_{x-\delta} \equiv \frac{\partial T}{\partial x}|_{x-\delta} < 0$, $x = L(t)$. Аналогичным образом, так как $\Phi_p(x + \delta) \rightarrow$

$\rightarrow E_{\text{рез}}(x + \delta) < 0$, то при $q_{T2}(x + \delta) > 0$, согласно (12), имеем $\text{grad} T|_{x+\delta} \equiv \frac{\partial T}{\partial x}|_{x+\delta} > 0$,

$x = L(t)$. Учитывая указанное выше расслоение фронта фазового перехода на твердую и жидкую фазы, а также полагая, что скрытая теплота фазового перехода выделяется только в твердой фазе, преобразуем граничное условие (19) к виду

$$E_{\text{рез}, 2}(x - \delta) - \lambda_s \frac{\partial T}{\partial x}|_{x-\delta} - E_{\text{рез}, 2}(x + \delta) - \left(-\lambda_l \frac{\partial T}{\partial x}|_{x+\delta} \right) - h_{2f} (T_l - T_{C2})|_{x+\delta} = q_f, \quad x = L(t). \quad (27)$$

Здесь

$$q_f = \rho_{sf} \Delta U_f V_f(t) \quad (28)$$

плотность потока тепловой энергии, воспринимаемой подвижной границей за счет фазового превращения (плавления) с учетом ее перемещения, где $\Delta U_f = U_l - U_s$ — скрытая удельная теплота фазового превращения, определяемая при температуре плавления $T_f = T_l$, U_l , U_s — плотности внутренней энергии жидкой и твердой фаз, $V_f(t) = \partial x(t)/\partial t$ — скорость движения плоского фронта фазового перехода, λ_l — коэффициент теплопроводности жидкой фазы, $h_{2f}(T_l - T_{C2})$ — плотность потока тепловой энергии, отводимой с поверхности жидкой фазы испарением (абляцией),

записываемая в форме уравнения Ньютона с коэффициентом теплоотдачи h_{2f} . Запишем (27) с учетом (23) в виде

$$-\lambda_s \frac{\partial T}{\partial x} \Big|_{x-\delta} + \lambda_l \frac{\partial T}{\partial x} \Big|_{x+\delta} + |E_{\text{рез},2}|_f - h_{2f}(T_l - T_{C2}) = q_f, \quad x = L(t). \quad (29)$$

Радиационная составляющая уравнения (29), записываемая в виде $|E_{\text{рез},2}|_f$ имеет смысл плотности потока результирующего излучения, поглощаемого фронтом фазового превращения за счет разности плотностей потоков со стороны твердой ($E_{\text{рез},2f}(x-\delta)$) и жидкой ($E_{\text{рез},2f}(x+\delta)$) фаз. При этом предполагается, что излучение, $E_{\text{рез},2f}(x+\delta)$, проникающее через сечение $(x+\delta)$, достигает фронта фазового перехода без ослабления в оптически тонкой пленке жидкой фазы, образующейся в процессе испарения. Принимая во внимание систему координат для плоского слоя (см. рис.), на основании физических соображений отметим, что $V_f(t) \leq 0$. Поэтому, исходя из единообразия описания процесса фазового перехода, условие теплообмена на подвижной границе (29) преобразуем к виду

$$\lambda_s \frac{\partial T}{\partial x} \Big|_{x-\delta} - \lambda_l \frac{\partial T}{\partial x} \Big|_{x+\delta} - |E_{\text{рез},2}|_f + h_{2f}(T_l - T_{C2}) = \rho_f \Delta U_f V_f(t), \quad x = L(t), \quad (30)$$

где $V_f(t) = [\partial x(t)/\partial t] \geq 0$. Следуя работе [5], запишем (30) в виде

$$-\left[q_{2f}^{\Sigma} \right] = \rho_f \Delta U_f V_f(t). \quad (31)$$

Здесь

$$\left[q_{2f}^{\Sigma} \right] = q_{2f}^{\Sigma}(x-\delta) - q_{2f}^{\Sigma}(x+\delta), \quad x = L(t), \quad (32)$$

$$q_{2f}^{\Sigma}(x-\delta) = -\lambda_s \frac{\partial T}{\partial x} \Big|_{x-\delta} + E_{\text{рез},2f}(x-\delta), \quad (33)$$

$$q_{2f}^{\Sigma}(x+\delta) = \lambda_l \frac{\partial T}{\partial x} \Big|_{x+\delta} - E_{\text{рез},2f}(x+\delta) - h_{2f}(T_l - T_{C2}) \Big|_{x+\delta}, \quad (34)$$

где, с учетом определения $E_{\text{рез},i} = E_{\text{пад},i} - E_{\text{эф},i}$, для проницаемой относительно теплового излучения границей i получаем значения плотностей потоков полусферического результирующего излучения вблизи внутренней и внешней поверхностей границы 2, записываемых в виде соотношений:

$$E_{\text{рез},2f}(x-\delta) = (A_{2f} + D_{2f})E_{\text{пад},2}^+(x-\delta) - \varepsilon_{2f}n^2\sigma_0 T^4(x-\delta) - D_{2f}E_{\text{пад},2}^*(x+\delta), \quad (35)$$

$$-E_{\text{рез},2f}(x+\delta) = (A_{2f} + D_{2f})E_{\text{пад},2}^*(x+\delta) - \varepsilon_{2f}\sigma_0 T^4(x+\delta) - D_{2f}E_{\text{пад},2}^+(x-\delta), \quad (36)$$

учитывающих A_{2f} , ε_{2f} , D_{2f} — значения полусферических поглощательных, излучательных и пропускательных способностей границы 2, претерпевающей фазовый переход. Уравнение (23), с подставленными в него (35) и (36), удовлетворяет соотношению (25).

3. Анализ теплообмена на подвижной границе

Начало фазового перехода связано с формированием локального стока тепловой энергии ($\Phi > 0$), который определяется радиационно-кондуктивной тепло-

передачей вблизи фронта фазового перехода со стороны конденсированного материала и внешней среды.

Запишем граничное условие (29) с учетом (32) в виде соотношения, характеризующего баланс плотностей потоков тепловой энергии, пересекающих фронт фазового перехода:

$$\rho_{sf}\Delta U_f V_f(t) + q_{2f}^{\Sigma}(x-\delta) = q_{2f}^{\Sigma}(x+\delta), \quad x = L(t), \quad (37)$$

Если в (34) выполняется условие $q_{2f}^{\Sigma}(x+\delta) > 0$, $x = L(t)$, то левая часть уравнения (37) приобретает смысл количественной характеристики поступления (выделение энергии через сечение $(x-\delta)$) тепловой энергии во фронт фазового перехода со стороны конденсированной фазы, а правая часть — оттока тепловой энергии (поглощение энергии сечением $(x+\delta)$) от фронта со стороны жидкой фазы в окружающую среду. В условиях, когда $h_{2f}(T_l - T_{2c}) > \lambda_l \left. \frac{\partial T}{\partial x} \right|_{x+\delta} - E_{\text{рез}}$, возможна ситуация прекращения фазового перехода. Если $q_{2f}^{\Sigma}(x+\delta) < 0$, то суммарная тепловая энергия поступает во фронт фазового перехода через сечение $(x+\delta)$ со стороны окружающей среды. Последнее может приводить к перегревам конденсированной фазы, охлаждаемой через левую границу $(x=0)$ пластины. В частном случае, когда $q_{2f}^{\Sigma}(x+\delta) \equiv 0$, $x = L(t)$, рассматривается классическое решение однофазной задачи Стефана [5]. Указанное решение связано с предположением отсутствия суммарного результирующего потока $q_{2f}^{\Sigma}(x+\delta)$ в сечении $(x+\delta)$, $x = L(t)$. Составляющие указанного потока взаимно уравниваются, что равносильно тепловой изоляции сечения $(x+\delta)$. Фазовый переход и движение фронта фазового перехода осуществляется за счет потока в сечении $(x-\delta)$, $x = L(t)$. Другими словами, граничное условие (30) в этом случае приобретает вид:

$$\begin{aligned} \lambda_s \left. \frac{\partial T}{\partial x} \right|_{x-\delta} - (A_{2f} + D_{2f})E^+(x-\delta) + D_{2f}E^*(x+\delta) + \\ + \varepsilon_2 n^2 \sigma_0 T^4(x-\delta) = \rho_{sf}\Delta U_f V_f(t), \end{aligned} \quad (38)$$

где $T(x-\delta) \equiv T_f$.

Если фронт фазового перехода оказывается непроницаемым для теплового излучения, то из (36) следует:

$$-E_{\text{рез},2}(x+\delta) = A_{2f}E^*(x+\delta) - \varepsilon_{2f}\sigma_0 T_f^4, \quad (39)$$

а граничное условие (38) принимает вид

$$\lambda_s \left. \frac{\partial T}{\partial x} \right|_{x-\delta} - A_{2f}E^+(x-\delta) + \varepsilon_2 n^2 \sigma_0 T_f^4 = \rho_{sf}\Delta U_f V_f(t), \quad x = L(t). \quad (40)$$

В частном случае, когда $A_{2f} = \varepsilon_{2f} = 0$ и фазовый переход сопровождается появлением большого количества рассеивающих (непоглощающих) центров, из (36) и (38), соответственно, вытекают условия:

$$-E_{\text{рез},2}(x+\delta) = D_{2f} [E^*(x+\delta) - E^+(x-\delta)], \quad (41)$$

$$\lambda_s \frac{\partial T}{\partial x} \Big|_{x-\delta} + D_{2f} [E^*(x+\delta) - E^+(x+\delta)] = \rho_{sf} \Delta U_f V_f(t), \quad x = L(t). \quad (42)$$

Заметим, что при $D_{2f} \equiv 1$ (абсолютная проницаемость границы 2) разность встречных потоков E^* , E^+ в выражениях (41) и (42) сохраняется. Если $A_{2f} = D_{2f} \equiv 0$, $R_{2f} = 1$, то $E_{\text{рез},2}(x+\delta) = 0$, а из (38) и (34) вытекает тождество:

$$\lambda_s \frac{\partial T}{\partial x} \Big|_{x-\delta} = \rho_{sf} \Delta U_f V_f(t); \quad \lambda_l \frac{\partial T}{\partial x} \Big|_{x+\delta} = h_{2f}(T_l - T_{c2}).$$

Предполагаемая модель включает в себя обобщенное уравнение теплопроводности, описывающее динамику температурных полей в конденсированной фазе, и условие Стефана, в котором результирующий тепловой поток со стороны фазы с постоянной температурой T_f тождественно равен нулю.

Имея в виду, что $\lambda_l \frac{\partial T}{\partial x} \Big|_{x+\delta} \equiv 0$ (изотермическая жидкая фаза), из условия $q_{2f}^\Sigma(x+\delta) \equiv 0$, согласно (34), вытекает тождество $-E_{\text{рез},2}(x+\delta) = h_{2f}(T_f - T_{c2})$, описывающее компенсацию плотности потока результирующего излучения в сечении $(x+\delta)$, $x = L(t)$ тепловым потоком, образующимся в этом сечении за счет процессов испарения жидкой фазы. Запишем его с учетом (36) в виде:

$$h_{2f}(T_f - T_{c2}) = (A_{2f} + D_{2f})E^*(x+\delta) - \varepsilon_{2f}\sigma_0 T_f^4 - D_{2f}E^+(x-\delta). \quad (43)$$

Так как по условию задачи $E^*(x+\delta) = \text{const}$ и $T_f = \text{const}$, то правая часть этого соотношения содержит единственную динамическую составляющую в последнем члене $(D_{2f}E^+(x-\delta))$, имеющем смысл плотности потока излучения, выходящего из объемно излучающей и поглощающей пластины, которая меняет во времени свою толщину. Следовательно, на основании (43),

$$h_{2f} = \frac{-E_{\text{рез},2}(x+\delta)}{T_f - T_{c2}} \equiv h_{2f}(x+\delta), \quad x = L(t). \quad (44)$$

Соотношение (44) позволяет определить в процессе решения как уровень, так и динамику значений h_{2f} , условно характеризующих принятую модель теплоотдачи за счет испарения.

Высказанные соображения дают основание для записи условия теплообмена на подвижной границе в виде ранее представленного соотношения (30):

$$\lambda_s \frac{\partial T}{\partial x} \Big|_{x-\delta} - |E_{\text{рез},2}| + h_{2f}(x+\delta)(T_f - T_{c2}) = \rho_{sf} \Delta U_f V_f(t), \quad x = L(t). \quad (45)$$

в котором учитываются неравновесные условия взаимодействия фронта фазового перехода с внешней средой за счет процессов испарения. По-видимому, аналогичным образом формируются неравновесные условия теплоотдачи за счет излучения выходящего из слоя переменной толщины через абсолютно черный фронт фазового перехода [6].

Выводы

С помощью простейших соображений термодинамического анализа открытой системы дан вывод граничных условий краевой задачи о радиационно-кондуктивном теплообмене в плоском слое с фазовым переходом на одной из границ. Показано, что классическое решение однофазной задачи обобщается на случай равновесного значения суммарного потока, инициирующего фазовый переход. Неравновесные значения указанного потока могут рассматриваться с привлечением параметров неравновесности (испарения, излучения), характеризующих нестационарное взаимодействие пластины с активной внешней средой. При этом решение однофазной задачи Стефана в слое полупрозрачной среды может оказаться монотонным и устойчивым по отношению к произвольным значениям оптических свойств границ и объема.

Список литературы

1. Tseng C.C., Viskanta R. On the hypothesis of internal phase change // Intern. Communications in Heat and Mass Transfer. 2005. Vol. 32. P. 1267–1272.
2. Серрин Дж. Математические основы классической механики жидкости. М.: изд-во ИЛ, 1963. 256 с.
3. Гершун А.А. К теории светового поля в рассеивающей среде // ДАН СССР. 1945. Т. 49, № 8. С. 578–580.
4. Рубцов Н.А. К решению однофазной задачи Стефана в слое полупрозрачного материала // Теплофизика и аэромеханика. 2005. Т. 12, № 3. С. 471–482.
5. Мейрманов А.М. Задачи Стефана. Новосибирск: Наука. 1986. 239 с.
6. Le Dez V., Yousefian F., Vaillon D., Lemonnier D., Lallemand M. Problème de Stefan direct dans un milieu semi-transparent gris // J. de Phys. III. 1996. Vol. 6. P. 379–390.

Статья поступила в редакцию 19 мая 2011 г.